

3フレーバーPNJLモデルによる QCD相転移の研究

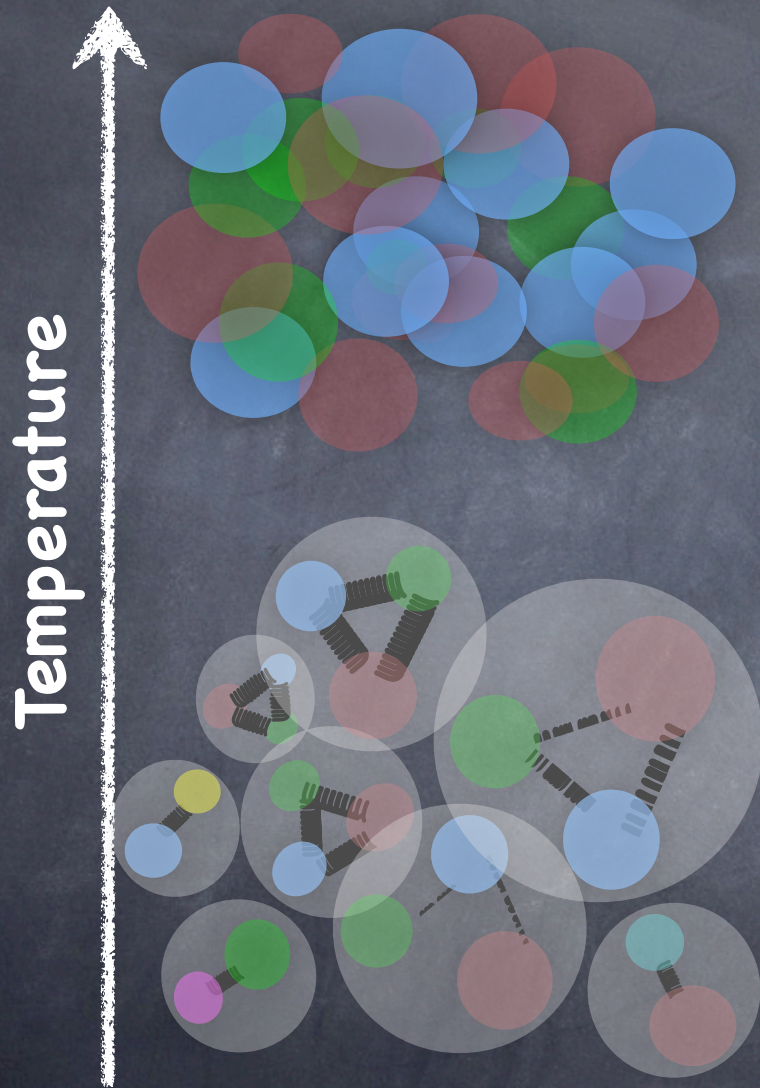
山崎 加奈子

東大駒場

共同研究者： 松井哲男

1. クォーク・ハドロン相転移
2. 3フレーバーPNJLモデル
3. 擬スカラーメソンとスカラーメソン
4. 状態方程式

クォーク・ハドロン相転移



- カイラル対称性の回復
- 閉じ込めの解消

- カイラル対称性の破れ
- カラーの閉じ込め

クォーク・ハドロン相転移

Temperature



- カイラル対称性の回復

Questions :

- 中間領域で何が起きているか？
- 相転移の前後で自由度はどう変わるか？

- カラーの閉じ込め

クォーク・ハドロン相転移

- カイラル対称性の回復

Questions :

- 中間領域で何が起きているか？
- 相転移の前後で自由度はどう変わるか？

中間領域の閉じ込め

状態方程式

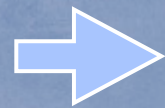
Temperature

Method

- 経路積分法で分配関数を計算

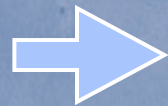
- 有効模型

- カイラル相転移



Nambu-Jona-Lasinio (NJL)

- 非閉じ込め相転移



Polyakov loop



PNJL model

K. Fukushima, 2004

- ボソン化

- **dummy integral** を挿入

- 4点相互作用、6点相互作用 --> **ボソン場** で書き換える

- 平均場近似 + **Mesonic correlations**

3フレーバー PNJL模型

分配関数

$$Z(T, A_4) = \int [dq][d\bar{q}] \exp \left[\int_0^\beta d\tau \int d^3x \mathcal{L}_{NJL}(q, \bar{q}, A_4) \right]$$

$$\mathcal{L}_{NJL} = \sum_{i,j=1}^3 \bar{q}_i (i\not{D} - \hat{m})_{i,j} q_j + \mathcal{L}_4 + \mathcal{L}_6$$

$$D_\mu = \partial_\mu + g A_0 \delta_{\mu,0}$$

3フレーバー PNJL模型

分配関数

$$Z(T, A_4) = \int [dq][d\bar{q}] \exp \left[\int_0^\beta d\tau \int d^3x \mathcal{L}_{NJL}(q, \bar{q}, A_4) \right]$$

$$\mathcal{L}_{NJL} = \sum_{i,j=1}^3 \bar{q}_i (i\not{D} - \hat{m})_{i,j} q_j + \mathcal{L}_4 + \mathcal{L}_6$$

$$D_\mu = \partial_\mu + g A_0 \delta_{\mu,0}$$

- 4点相互作用

$$\mathcal{L}_4 = G \sum_{a=0}^8 [(\bar{q} \lambda^a q)^2 + (\bar{q} i \gamma_5 \lambda^a q)^2]$$

$$a = 0 \sim 8$$



3フレーバー PNJL模型

分配関数

$$Z(T, A_4) = \int [dq][d\bar{q}] \exp \left[\int_0^\beta d\tau \int d^3x \mathcal{L}_{NJL}(q, \bar{q}, A_4) \right]$$

$$\mathcal{L}_{NJL} = \sum_{i,j=1}^3 \bar{q}_i (i\not{D} - \hat{m})_{i,j} q_j + \mathcal{L}_4 + \mathcal{L}_6$$

$$D_\mu = \partial_\mu + g A_0 \delta_{\mu,0}$$

- 4点相互作用

$$\mathcal{L}_4 = G \sum_{a=0}^8 \left[(\bar{q} \lambda^a q)^2 + (\bar{q} i \gamma_5 \lambda^a q)^2 \right]$$

$a = 0 \sim 8$



- 6点相互作用

$$\mathcal{L}_6 = -K \left[\det \bar{q} (1 + \gamma_5) q + \det \bar{q} (1 - \gamma_5) q \right]$$

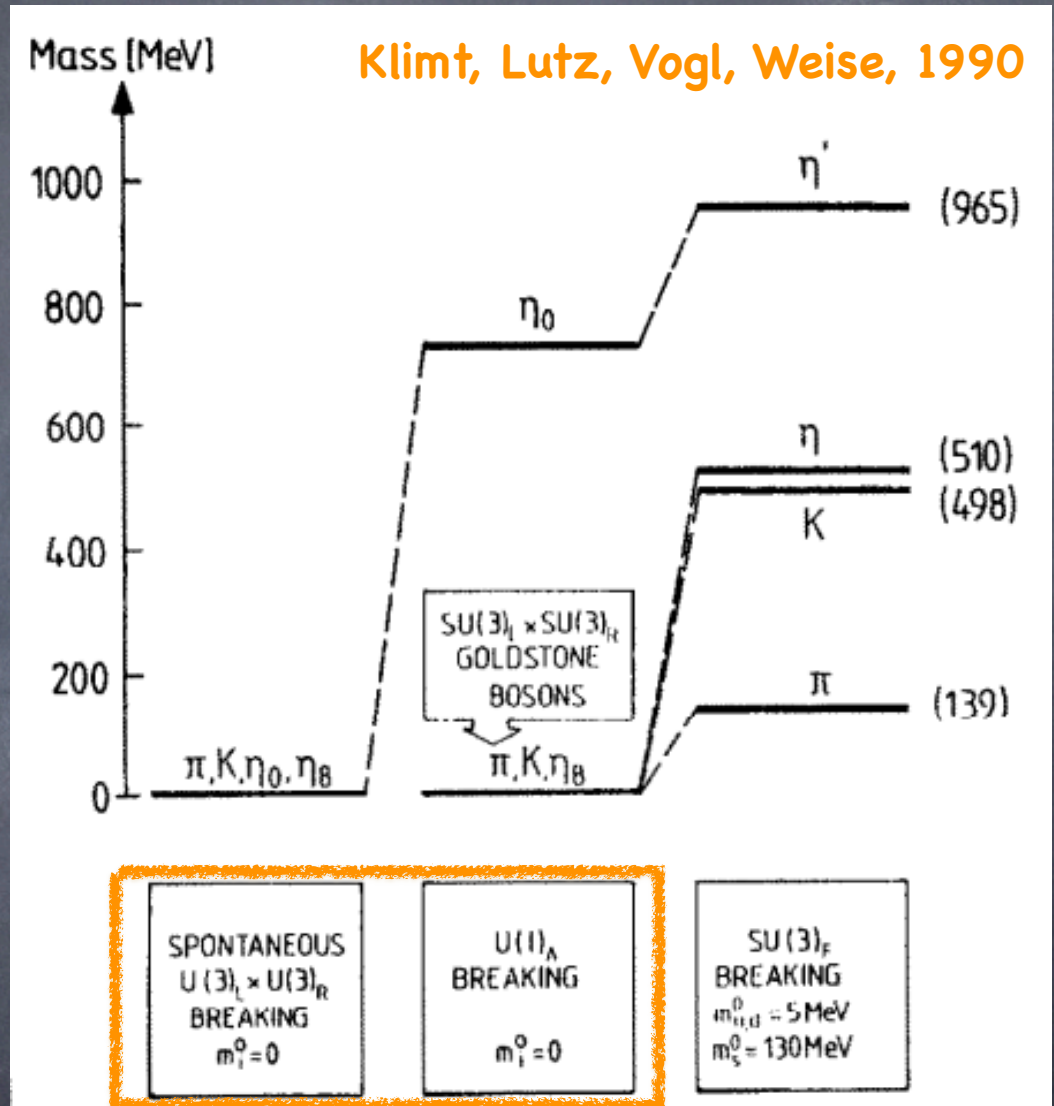
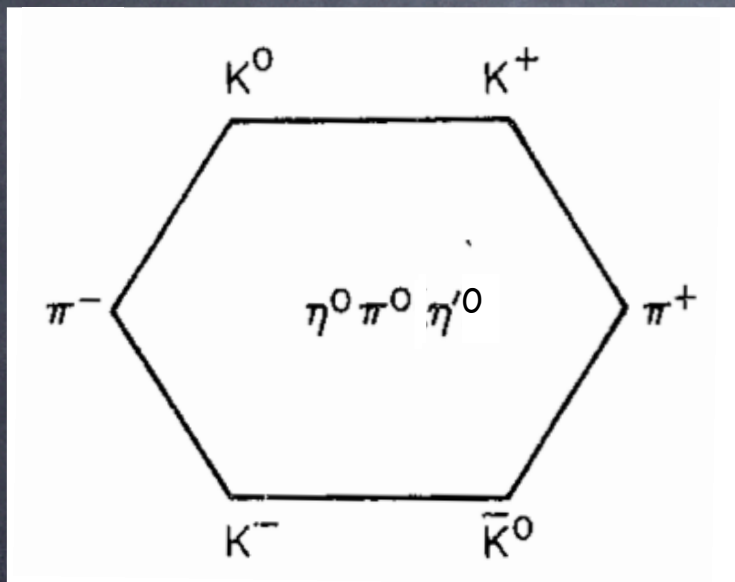
$U(1)_A$ breaking



Meson nonets

擬スカラーメソン

π, K, η, η'



\mathcal{L}_6 : mass splitting を起こす

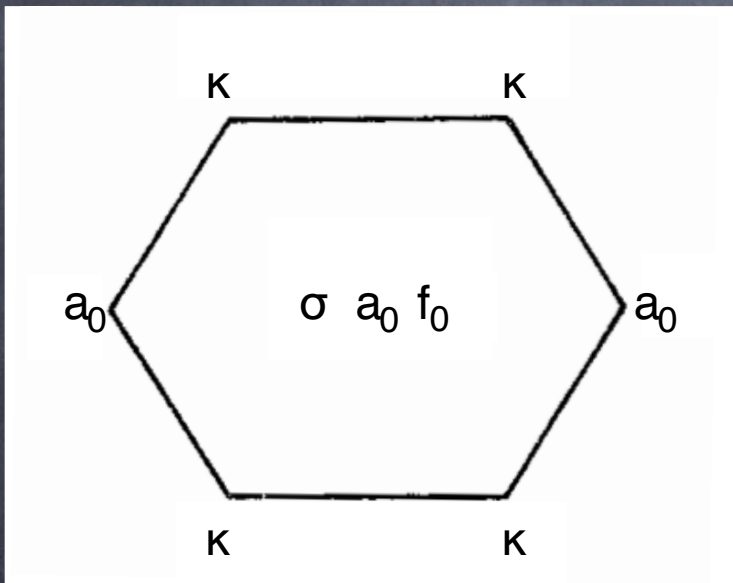
Meson nonets

スカラーメソン

σ , κ , f_0 , a_0

Ishida, 1998

Fariborz, Jora, Schechter, 2009



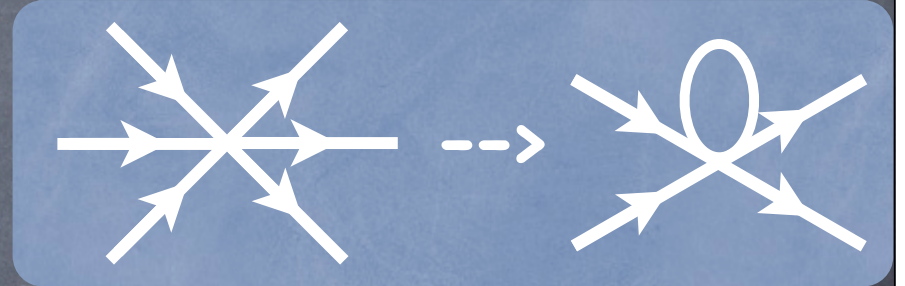
?

	Mass[MeV]	Width[MeV]
σ	~ 550	400 - 700
κ	~ 800	
$f_0(980)$	~ 980	40 - 100
$a_0(980)$	~ 980	50 - 100

分配関数の計算

- Lagrangian はフェルミオン場の **4次の項** と **6次の項** を含む。

- 6次の項は **condensate** で置き換えることで、有効的に4次に置き換えられる。



- 4点相互作用をボソン場で置き換える： ϕ^a, π^a

- 分配関数は **補助場の関数** として得られる：

$$Z(T, A_4) = \int [d\phi][d\pi] \exp[-I_{eff}(\phi^a, \pi^a, A_4)]$$

熱力学ポテンシャル

- 有効作用を**安定点**の周りで**2次まで展開**

- 安定点を求める条件：

$$\left. \frac{\delta I}{\delta \phi_a} \right|_{\phi = \phi_0} = 0.$$

- ボソン場について **ガウス積分**

- 熱力学ポテンシャル

$$\Omega(T, A_4) = T \left(I_0 + \frac{1}{2} \text{Tr}_M \ln \frac{\delta^2 I}{\delta \phi_a \delta \phi_b} + \frac{1}{2} \text{Tr}_M \ln \frac{\delta^2 I}{\delta \pi_a \delta \pi_b} \right)$$

mean field

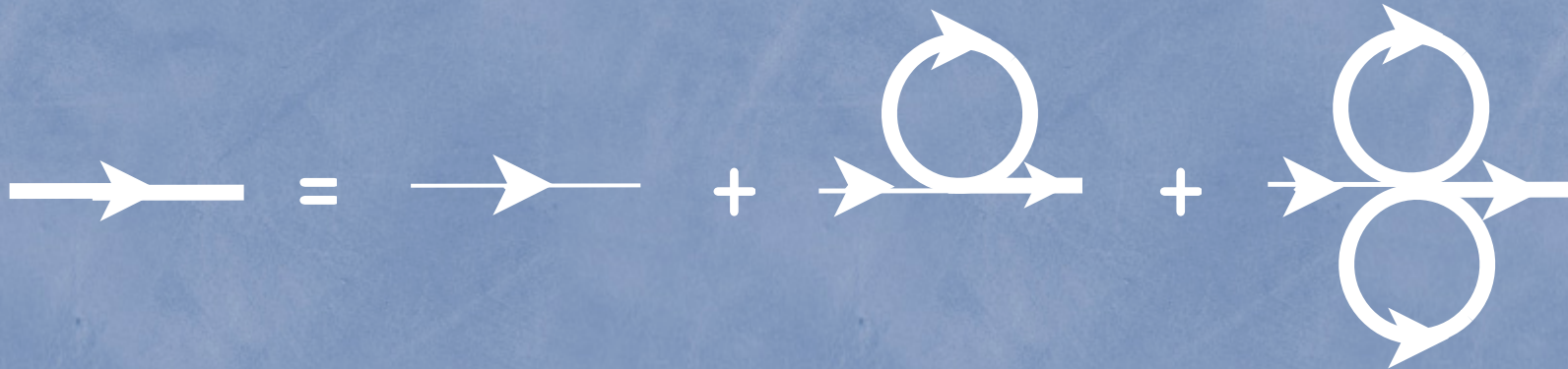
mesonic excitations

Constituent quark mass

- 圧力は **構成子クォーク質量** に依存
- 構成子クォーク質量は **ギャップ方程式** を解くことで

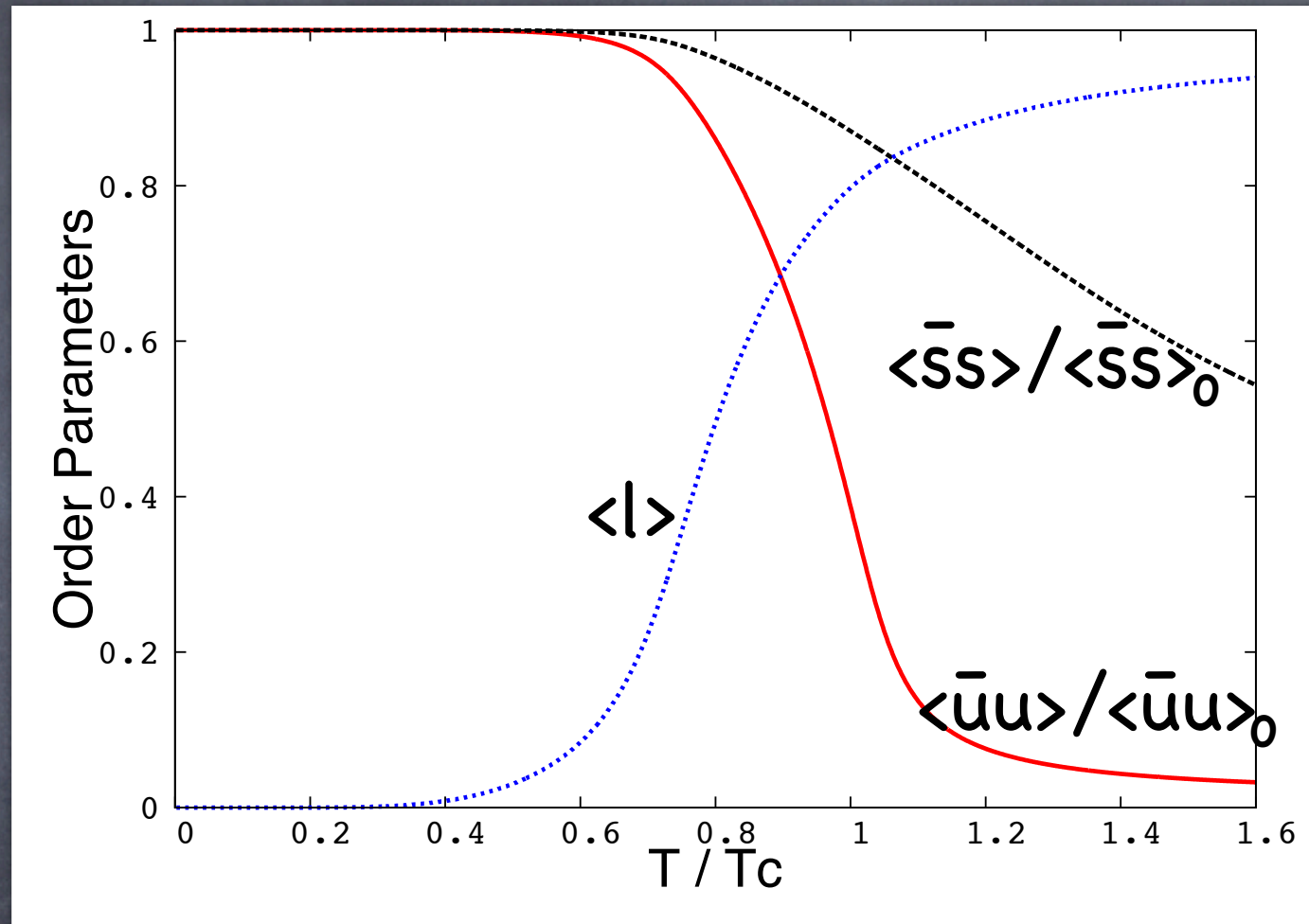
得られる :

$$\left\{ \begin{array}{l} M_u = m_u - 4G \langle \bar{u}u \rangle + 2K \langle \bar{d}d \rangle \langle \bar{s}s \rangle \\ M_s = m_s - 4G \langle \bar{s}s \rangle + 2K \langle \bar{u}u \rangle \langle \bar{d}d \rangle \end{array} \right.$$



- Chiral condensates : $\langle \bar{u}u \rangle (= \langle \bar{d}d \rangle), \langle \bar{s}s \rangle$

Order Parameters



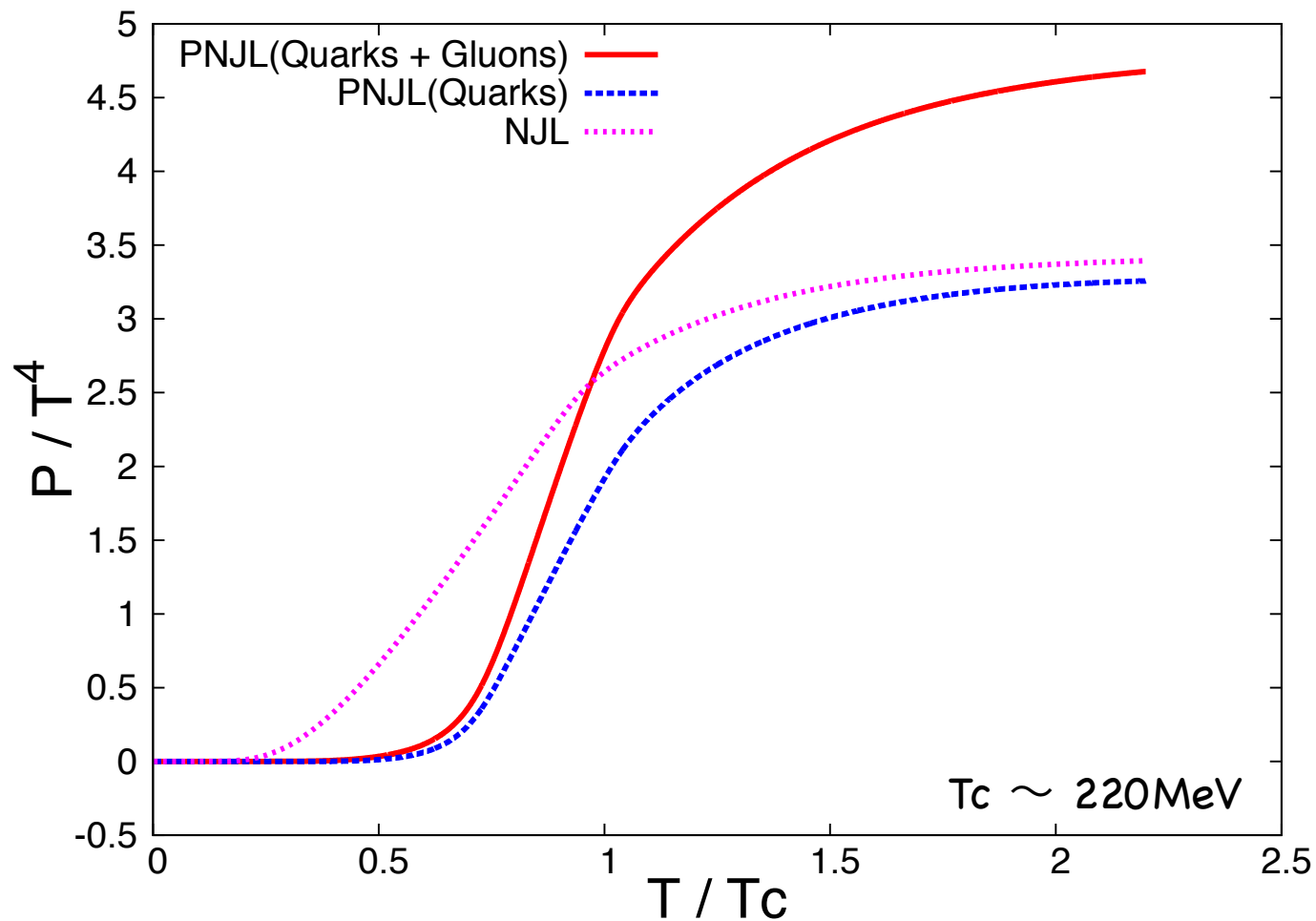
$\langle l \rangle$: Expectation value of Polyakov loop

T_c : pseudo critical temperature

$T_c \sim 220\text{MeV}$

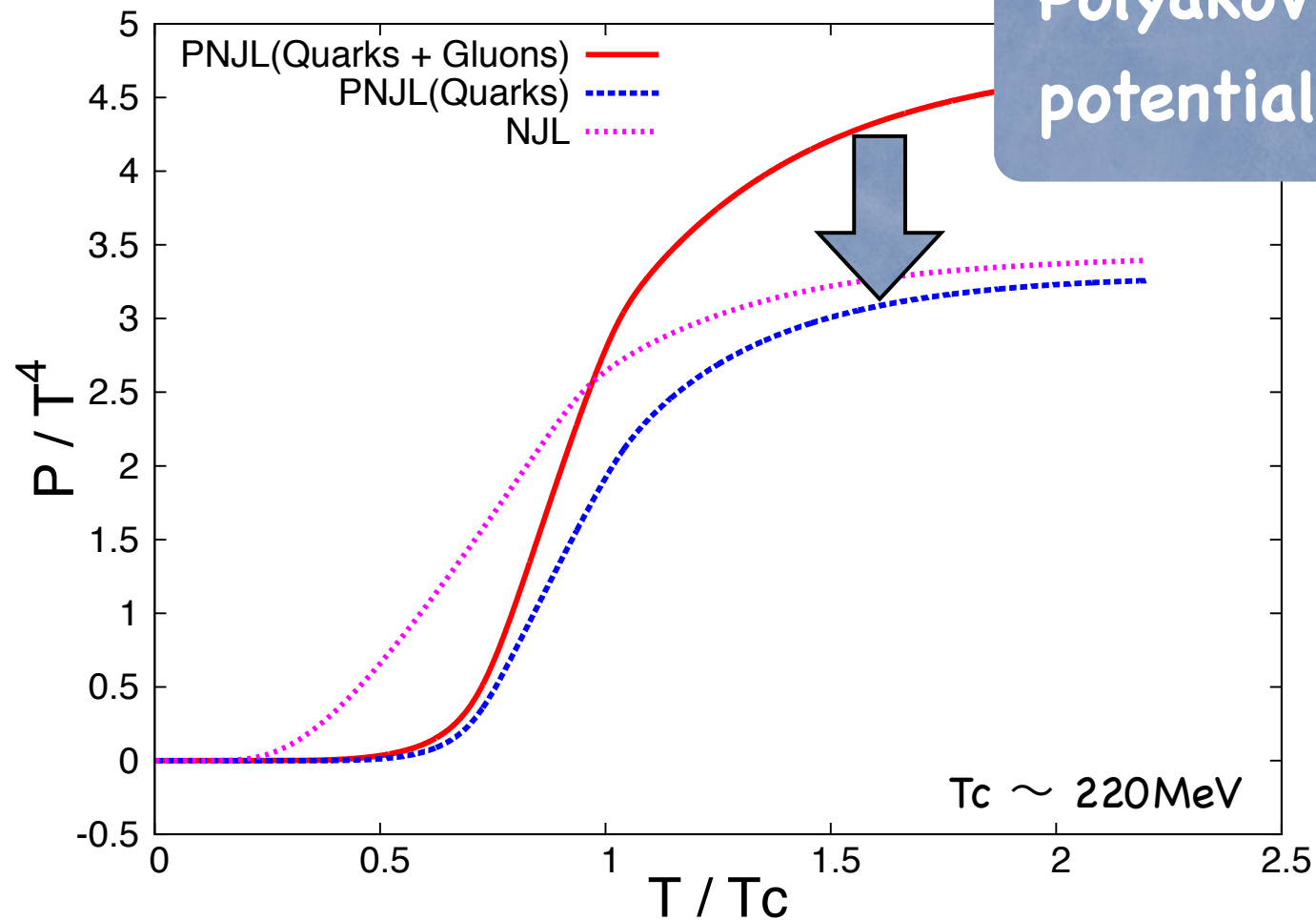
平均場近似のもとでの圧力

$$p_{MF}(T) = \sum_f p_{M_f}^0 + 4N_c \sum_f \int \frac{d^3p}{(2\pi)^3} \frac{p^2}{3E_f} f_{\langle l \rangle}(E_f) - \mathcal{U}(T)$$



平均場近似のもとでの圧力

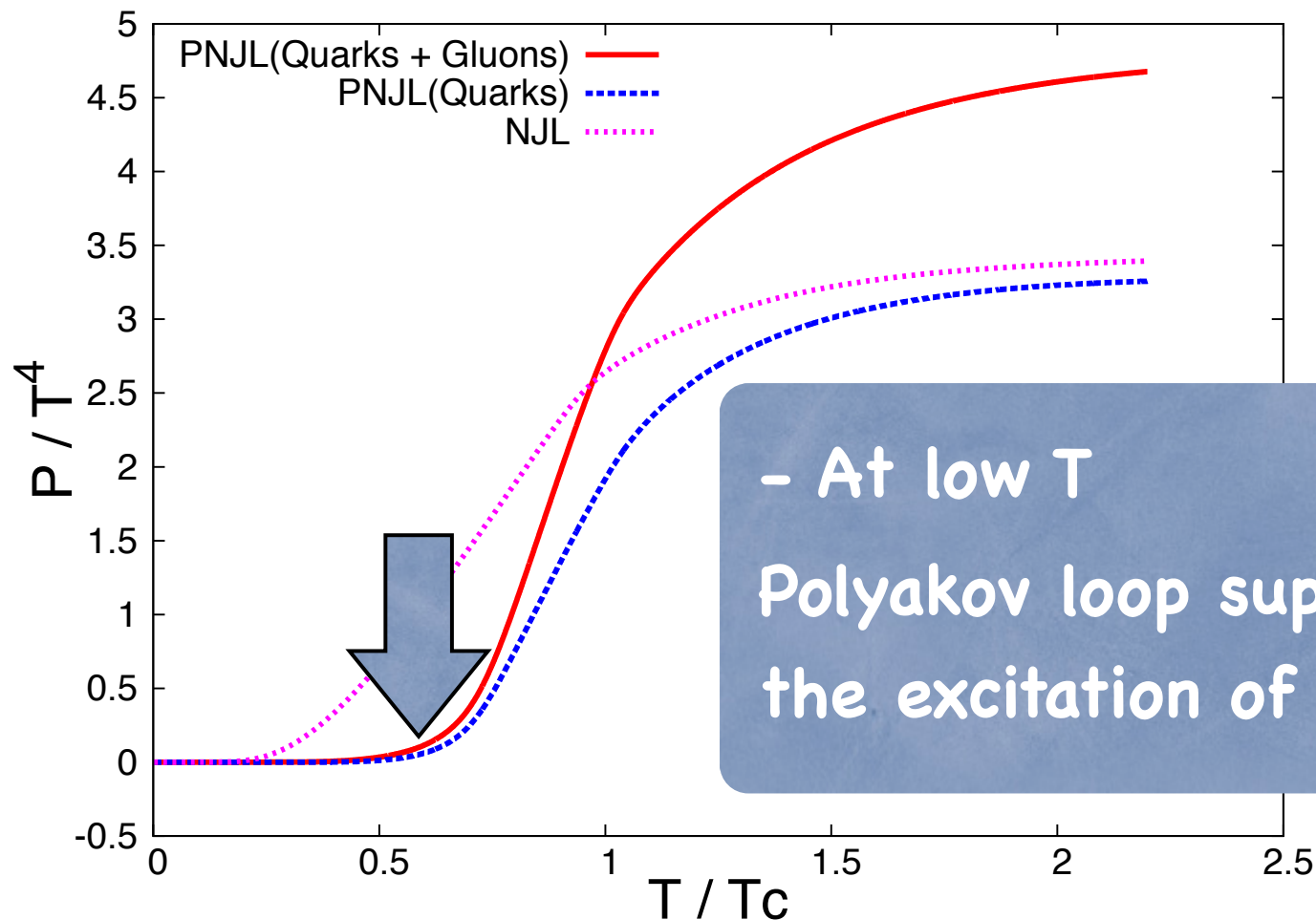
$$p_{MF}(T) = \sum_f p_{M_f}^0 + 4N_c \sum_f \int \frac{d^3 p}{(2\pi)^3} \frac{p^2}{3E_f} f_{\langle l \rangle}(E_f) - \mathcal{U}(T)$$



Polyakov loop
potential : $\mathcal{U}(T)$

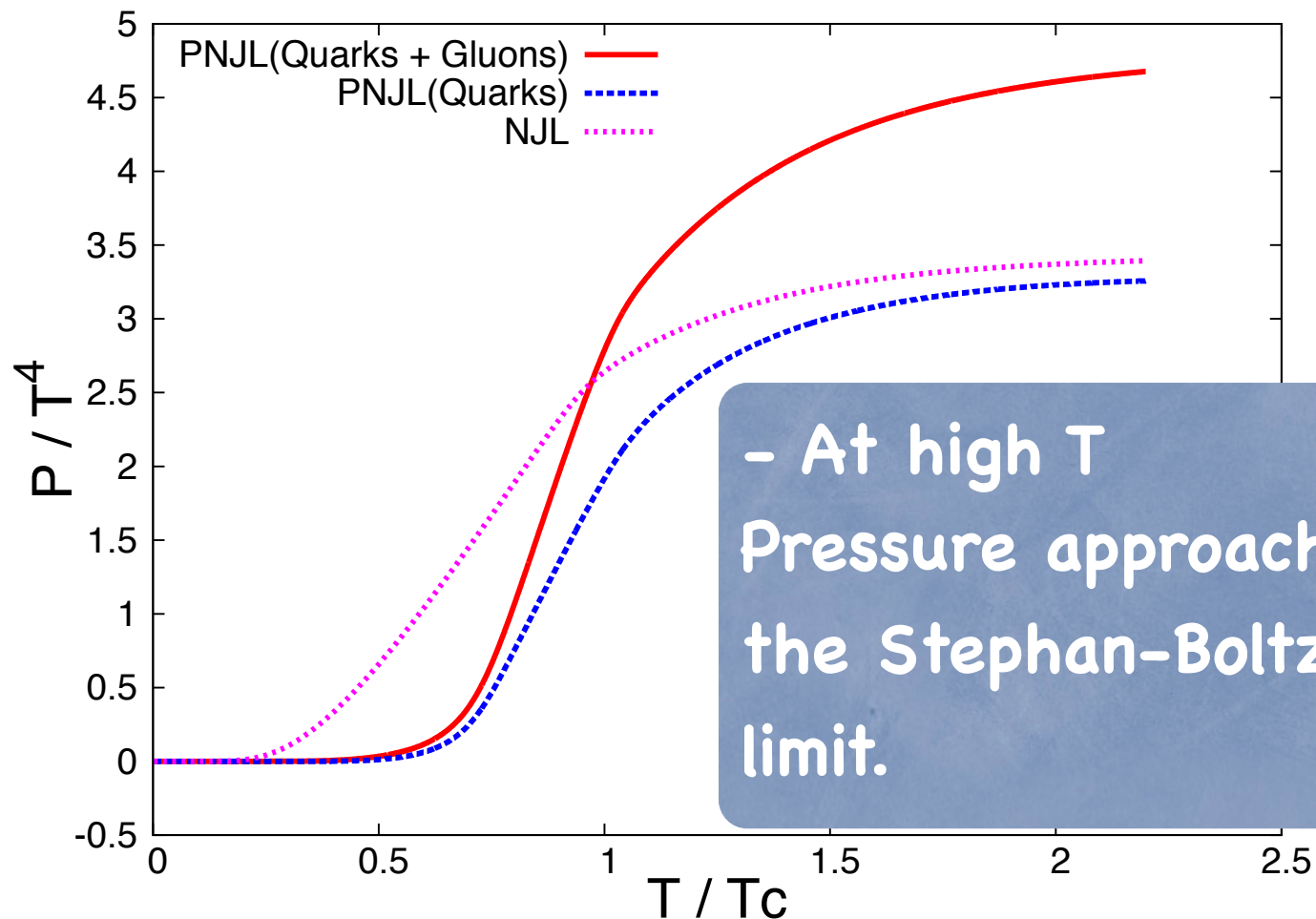
平均場近似のもとでの圧力

$$p_{MF}(T) = \sum_f p_{M_f}^0 + 4N_c \sum_f \int \frac{d^3p}{(2\pi)^3} \frac{p^2}{3E_f} f_{\langle l \rangle}(E_f) - \mathcal{U}(T)$$



平均場近似のもとでの圧力

$$p_{MF}(T) = \sum_f p_{M_f}^0 + 4N_c \sum_f \int \frac{d^3 p}{(2\pi)^3} \frac{p^2}{3E_f} f_{\langle l \rangle}(E_f) - \mathcal{U}(T)$$



Mesonic Correlations

- mesonic correlation からの圧力への寄与

$$p_M = - \sum_n \int \frac{d^3 q}{(2\pi)^3} \left\{ 3 \ln \mathcal{M}_\pi(\omega_n, q) + 4 \ln \mathcal{M}_K(\omega_n, q) + \ln \mathcal{M}_\eta(\omega_n, q) + \ln \mathcal{M}_{\eta'}(\omega_n, q) \right. \\ \left. + \ln \mathcal{M}_\sigma(\omega_n, q) + 4 \ln \mathcal{M}_\kappa(\omega_n, q) + 3 \ln \mathcal{M}_{a_0}(\omega_n, q) + \ln \mathcal{M}_{f_0}(\omega_n, q) \right\}$$

$$\mathcal{M}(\omega_n, q) = \frac{1}{2K'} - \Pi(\omega_n, q)$$

$$\Pi(\omega_n, q) = \text{[Diagram 1]} + \text{[Diagram 2]}$$

- K' : effective coupling

$$\text{[Diagram 3]} = \text{[Diagram 4]} + \text{[Diagram 5]}$$

Mesonic Correlations

- mesonic correlation からの圧力への寄与

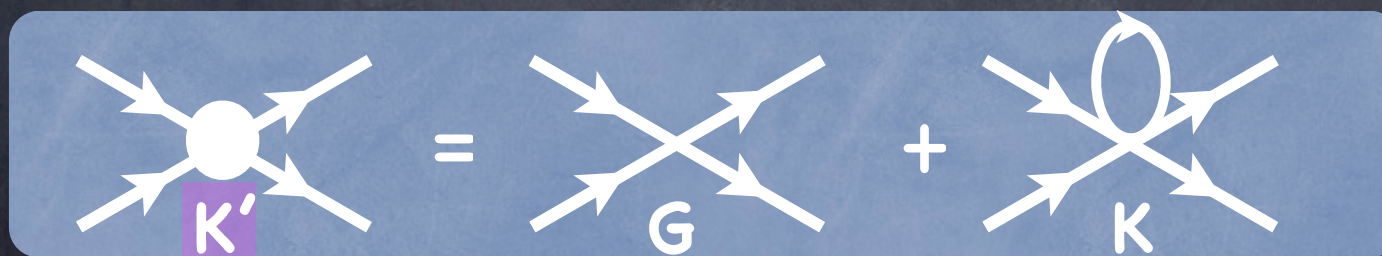
$$p_M = - \sum_n \int \frac{d^3 q}{(2\pi)^3} \left\{ 3 \ln \mathcal{M}_\pi(\omega_n, q) + 4 \ln \mathcal{M}_K(\omega_n, q) + \ln \mathcal{M}_\eta(\omega_n, q) + \ln \mathcal{M}_{\eta'}(\omega_n, q) \right. \\ \left. + \ln \mathcal{M}_\sigma(\omega_n, q) + 4 \ln \mathcal{M}_\kappa(\omega_n, q) + 3 \ln \mathcal{M}_{a_0}(\omega_n, q) + \ln \mathcal{M}_{f_0}(\omega_n, q) \right\}$$

Pseudo
scalar

$$\mathcal{M}(\omega_n, q) = \frac{1}{2K'} - \Pi(\omega_n, q)$$

$$\Pi(\omega_n, q) = \text{loop diagrams}$$

- K' : effective coupling



Mesonic Correlations

- mesonic correlation からの圧力への寄与

Scalar

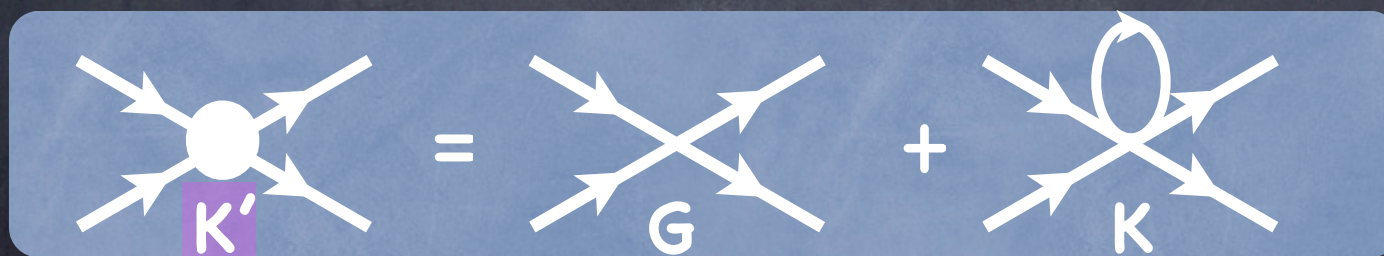
$$p_M = - \sum_n \int \frac{d^3 q}{(2\pi)^3} \left\{ 3 \ln \mathcal{M}_\pi(\omega_n, q) + 4 \ln \mathcal{M}_K(\omega_n, q) + \ln \mathcal{M}_\eta(\omega_n, q) + \ln \mathcal{M}_{\eta'}(\omega_n, q) \right. \\ \left. + \ln \mathcal{M}_\sigma(\omega_n, q) + 4 \ln \mathcal{M}_\kappa(\omega_n, q) + 3 \ln \mathcal{M}_{a_0}(\omega_n, q) + \ln \mathcal{M}_{f_0}(\omega_n, q) \right\}$$

$$\mathcal{M}(\omega_n, q) = \frac{1}{2K'} - \Pi(\omega_n, q)$$

$$\Pi(\omega_n, q) = \text{[Loop Diagram 1]} + \text{[Loop Diagram 2]}$$

The diagram shows two loop diagrams. The first is a circle with a wavy line entering from the bottom and exiting from the top. The second is a circle with two wavy lines, one entering from the left and one exiting from the right.

- K' : effective coupling



Mesonic Correlations

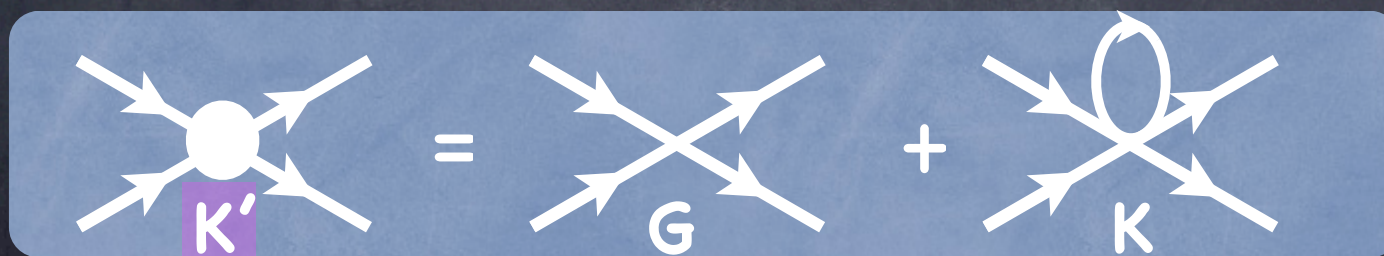
- mesonic correlation からの圧力への寄与

$$p_M = - \sum_n \int \frac{d^3 q}{(2\pi)^3} \left\{ 3 \ln \mathcal{M}_\pi(\omega_n, q) + 4 \ln \mathcal{M}_K(\omega_n, q) + \ln \mathcal{M}_\eta(\omega_n, q) + \ln \mathcal{M}_{\eta'}(\omega_n, q) \right. \\ \left. + \ln \mathcal{M}_\sigma(\omega_n, q) + 4 \ln \mathcal{M}_\kappa(\omega_n, q) + 3 \ln \mathcal{M}_{a_0}(\omega_n, q) + \ln \mathcal{M}_{f_0}(\omega_n, q) \right\}$$

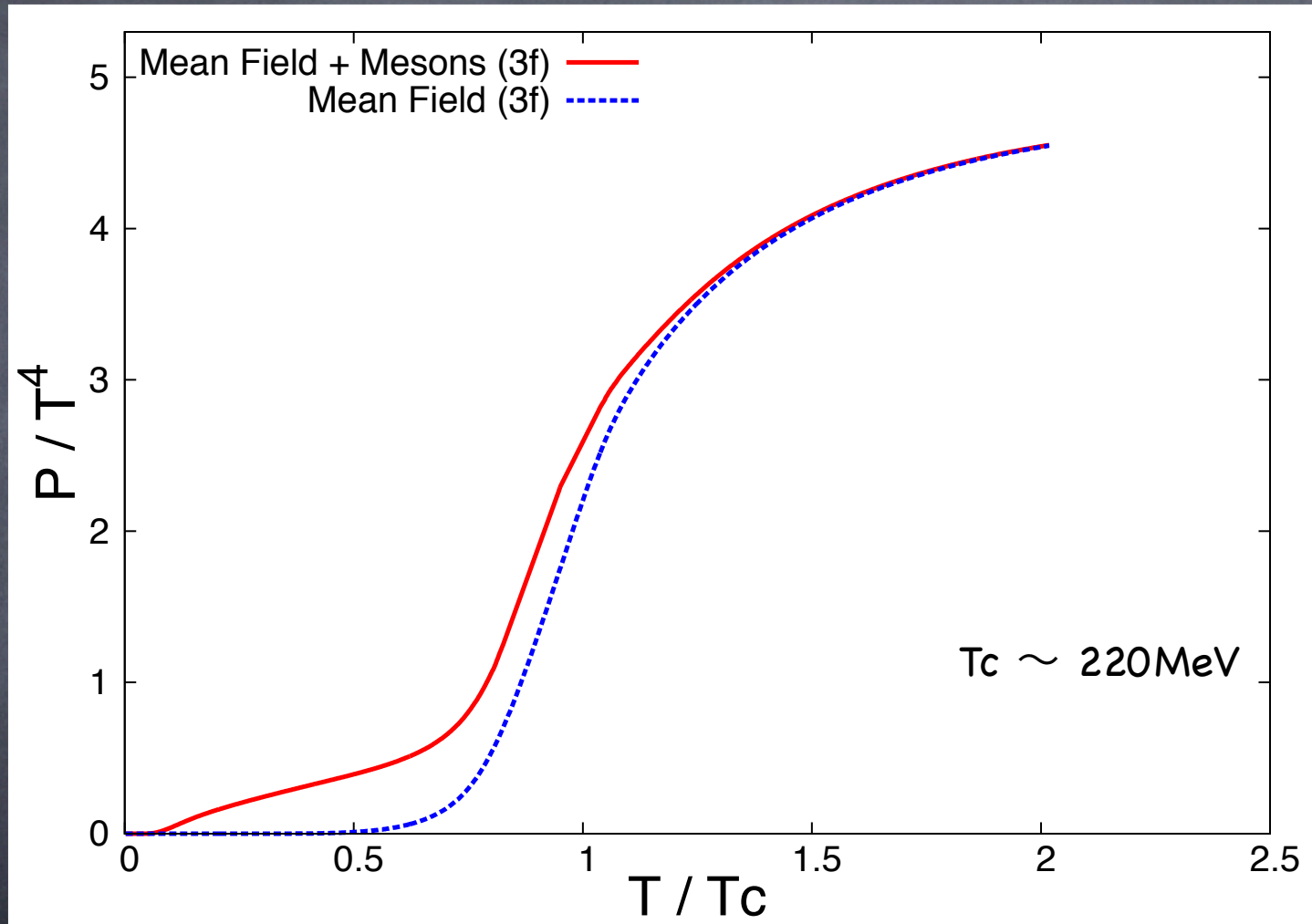
$$\mathcal{M}(\omega_n, q) = \frac{1}{2K'} - \Pi(\omega_n, q)$$

$$\Pi(\omega_n, q) = \text{loop diagrams}$$

- K' : effective coupling

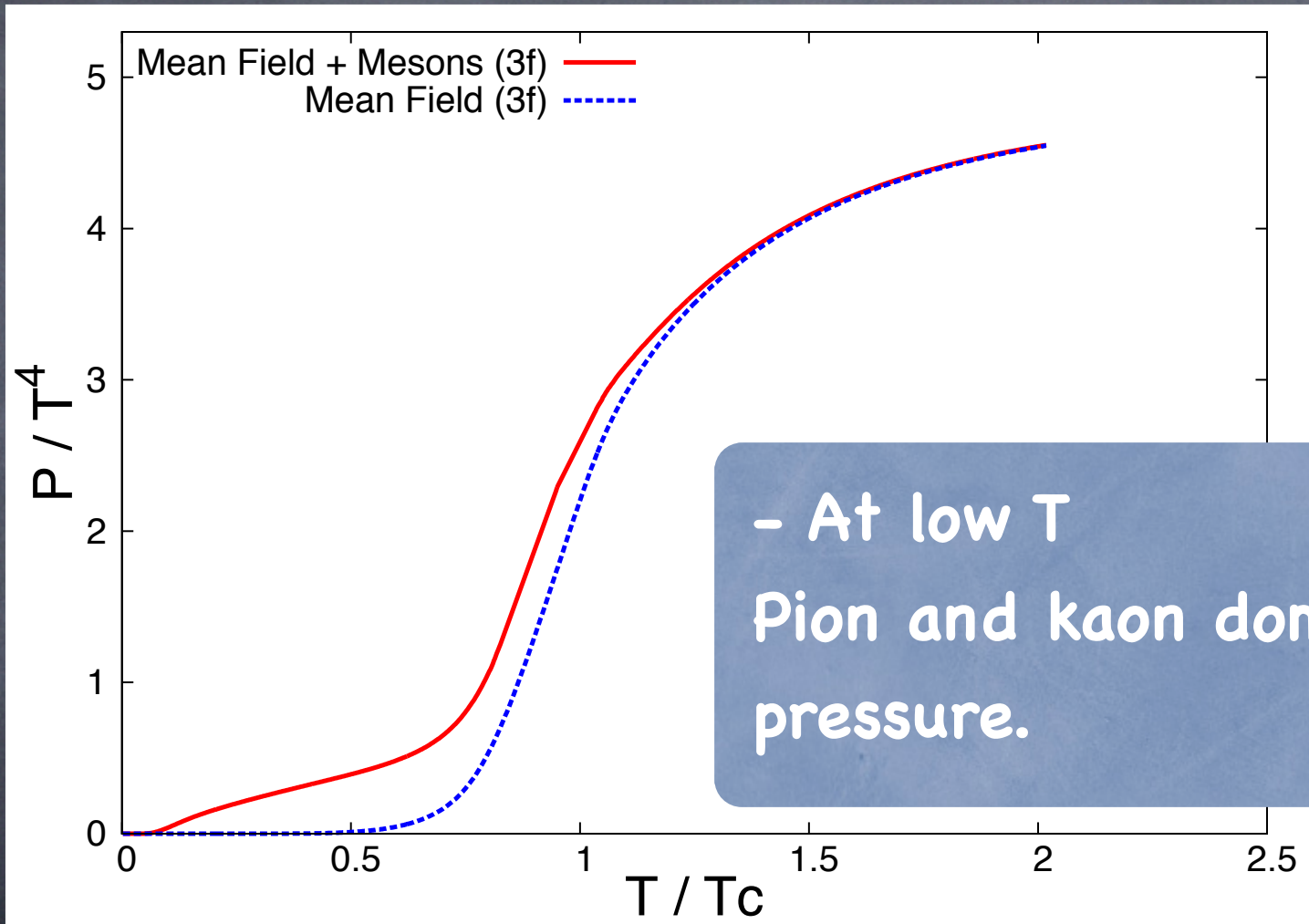


Pressure



π , K and σ are taken into this calculation.

Pressure

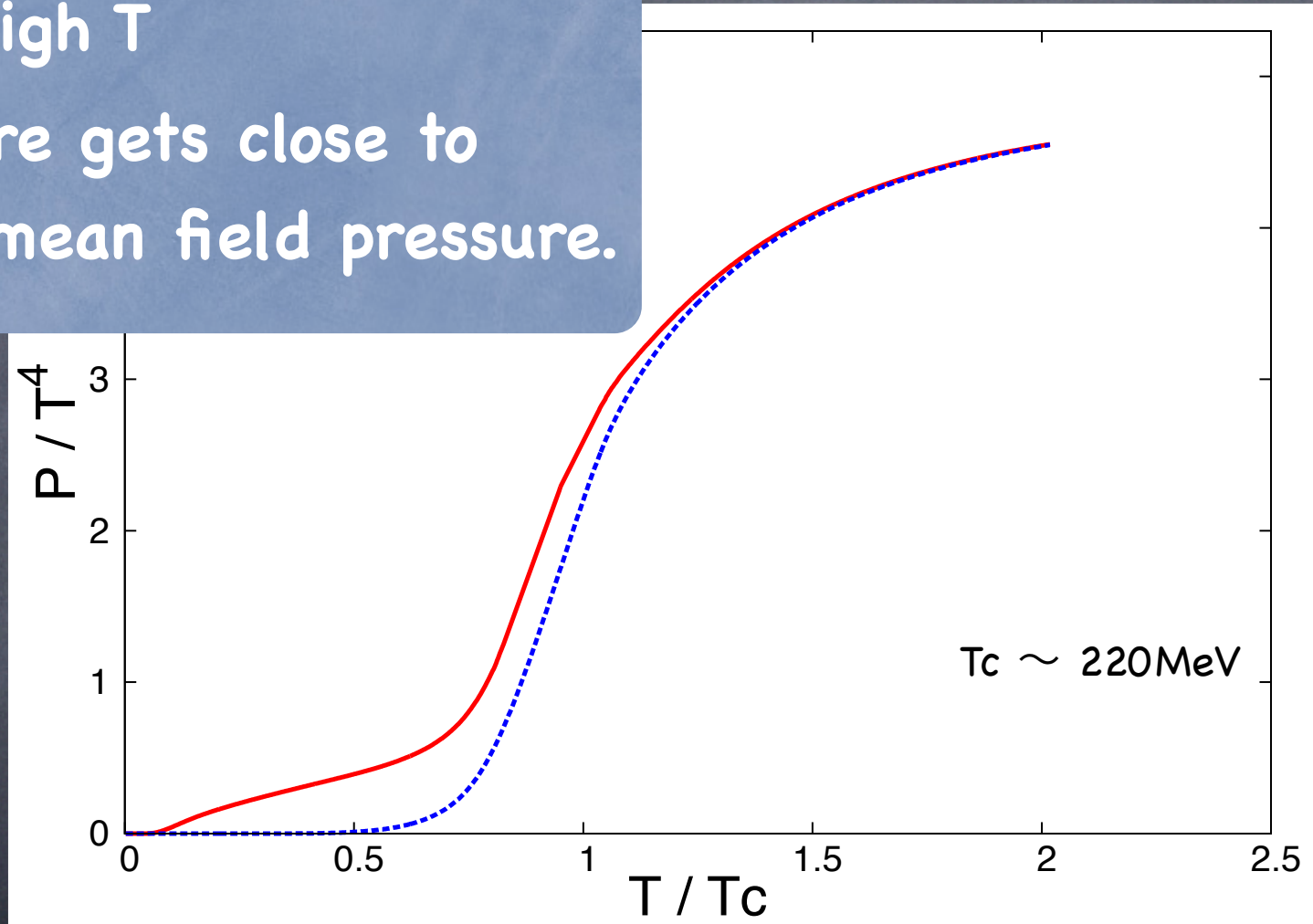


- At low T
Pion and kaon dominate
pressure.

π , K and σ are taken into this calculation.

Pressure

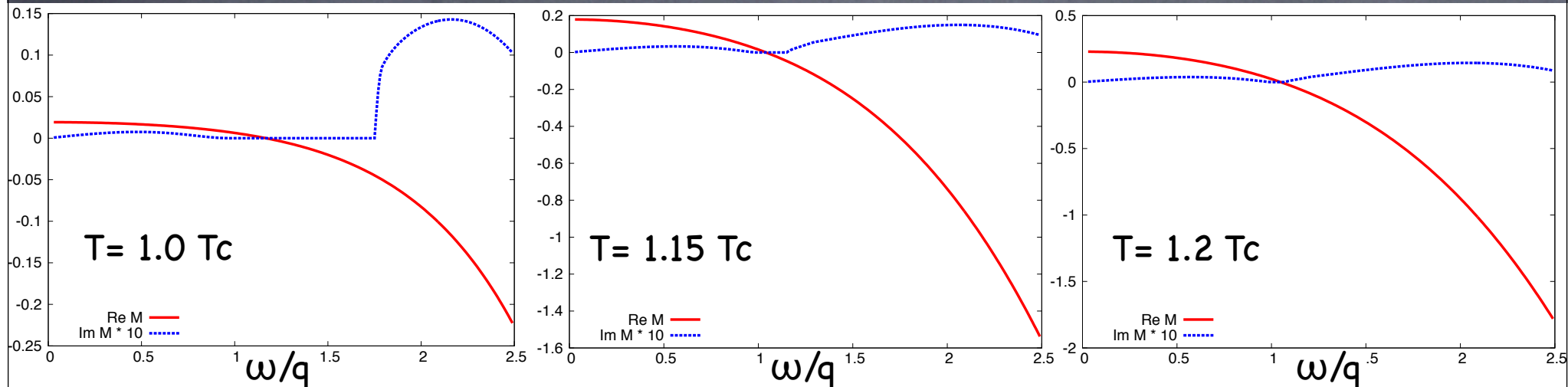
- At high T
Pressure gets close to
quark mean field pressure.



π , K and σ are taken into this calculation.

Collective modes

Pion

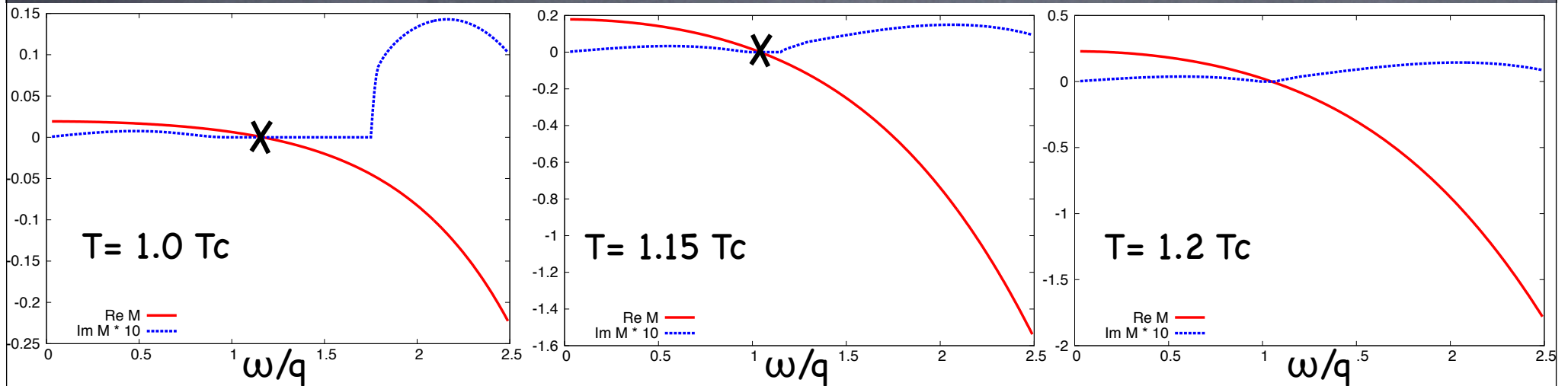


- Real part of M
- Imaginary part of M

$$\mathcal{M}(\omega, q) = \frac{1}{2K'} - \Pi(\omega, q)$$

Collective modes

Pion

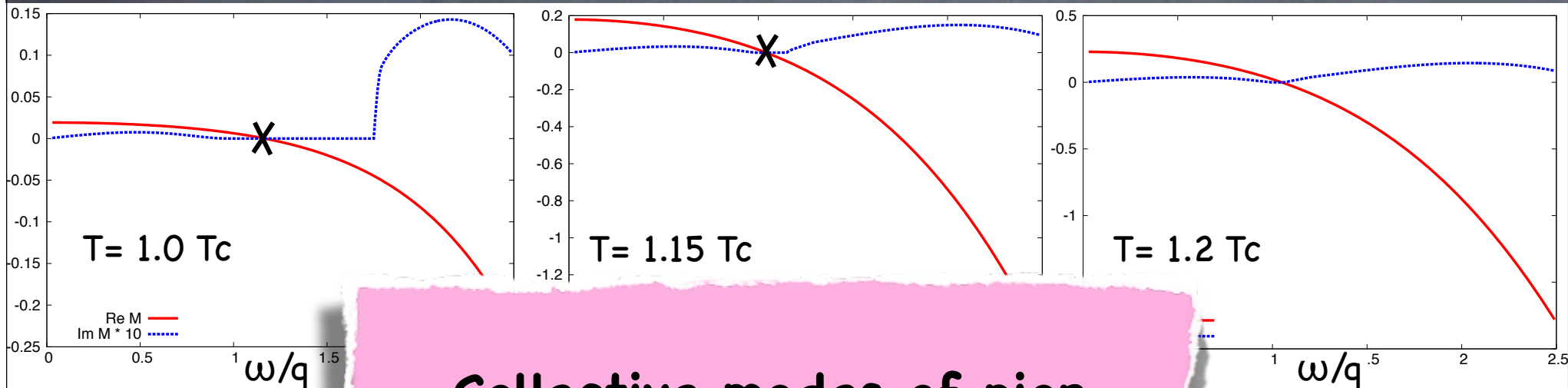


- Real part of M
- Imaginary part of M

$$\mathcal{M}(\omega, q) = \frac{1}{2K'} - \Pi(\omega, q)$$

Collective modes

Pion



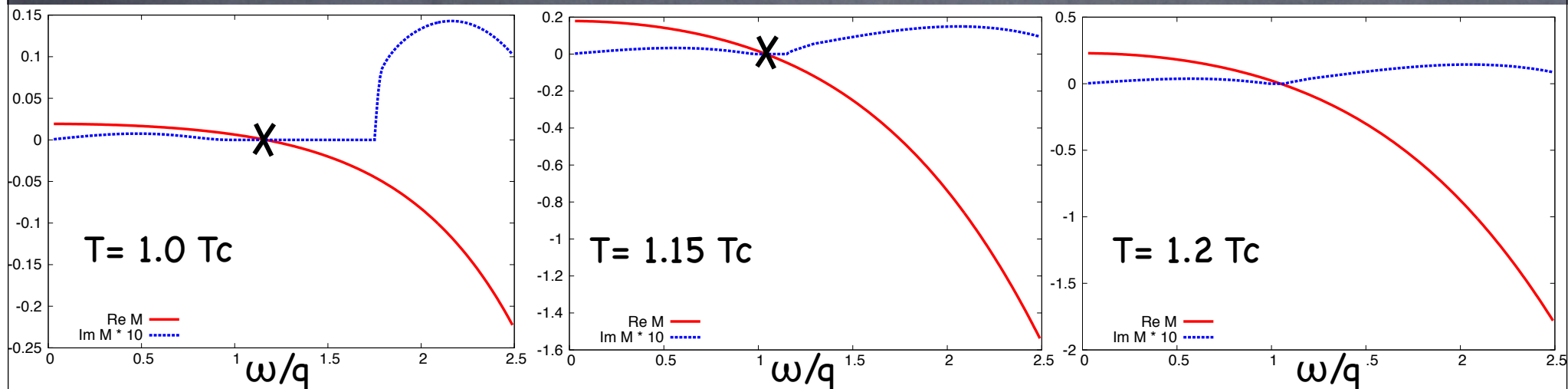
- Collective modes of pion disappear at $T=1.2T_c$

— Real
— Imag

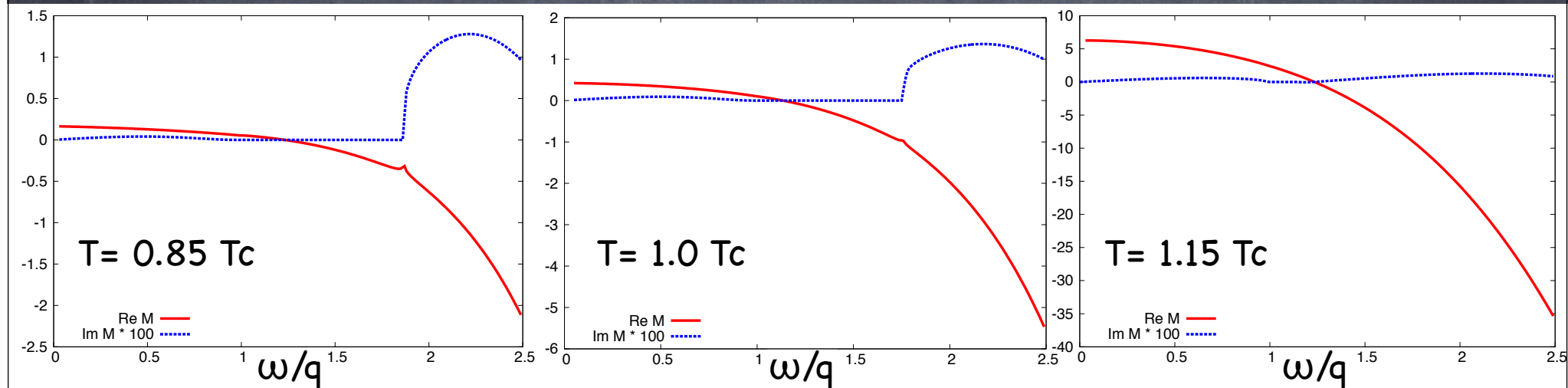
$$\frac{1}{M} = -\Pi(\omega, q)$$

Collective modes

Pion

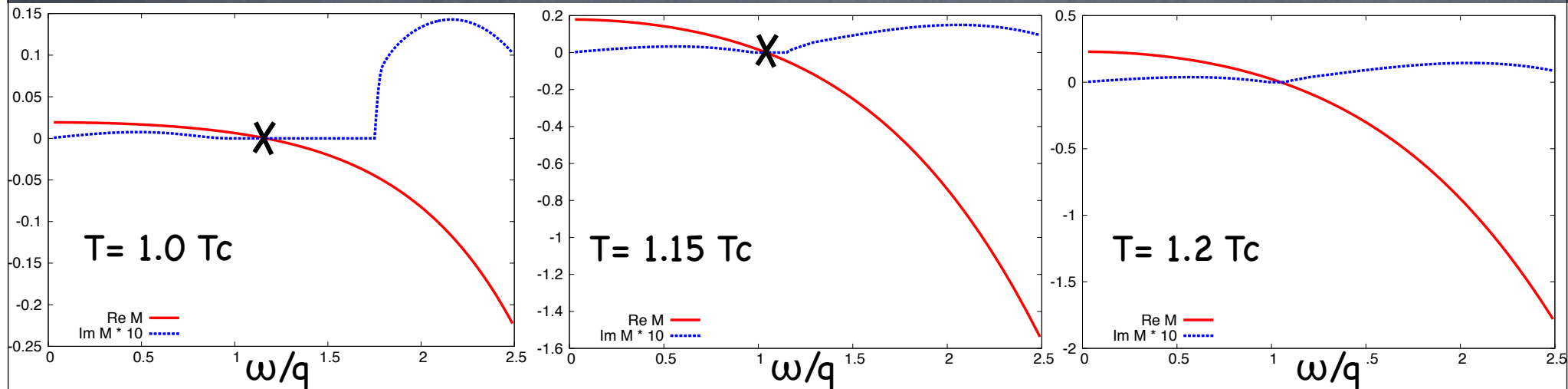


Kaon

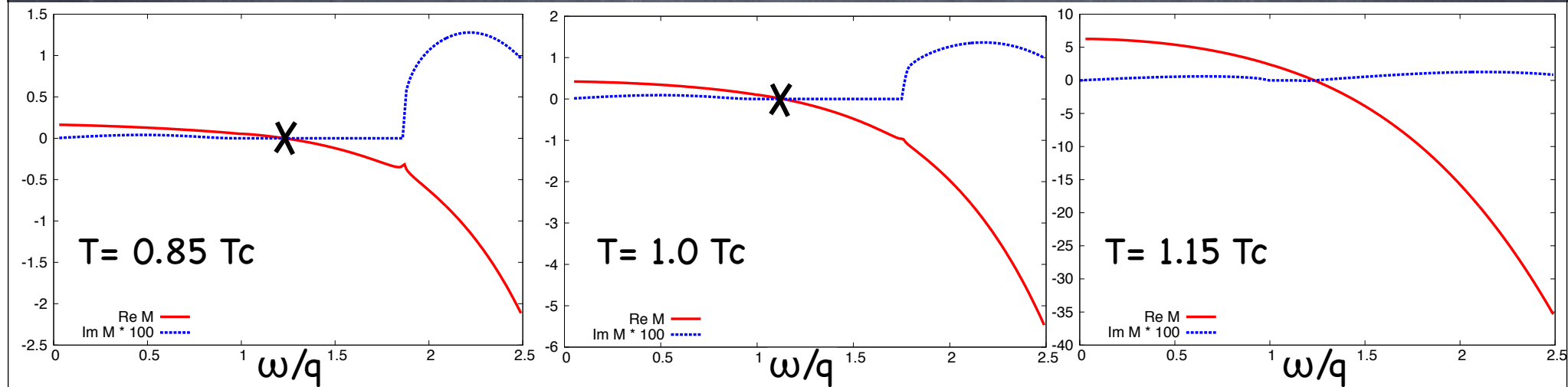


Collective modes

Pion

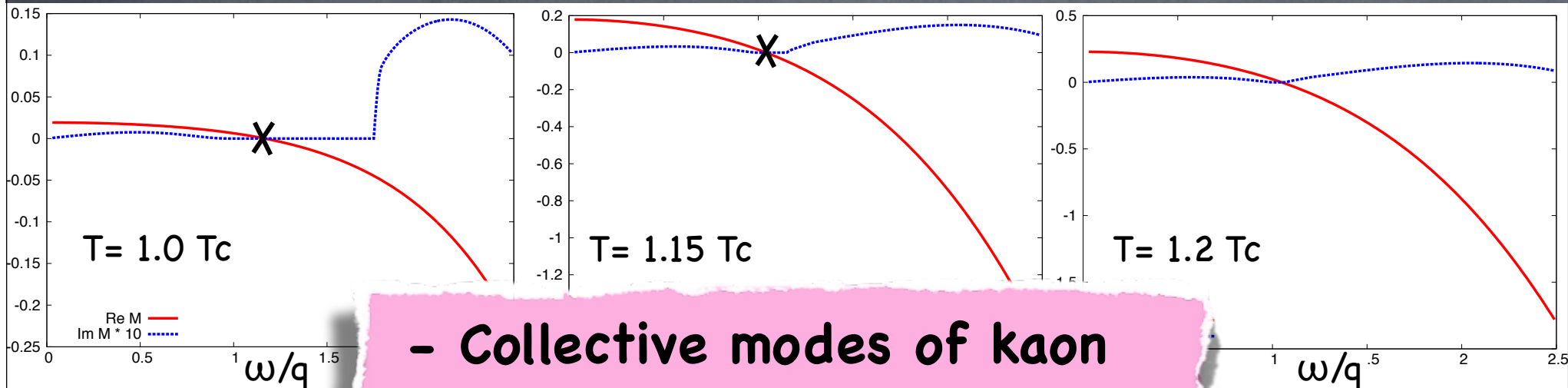


Kaon



Collective modes

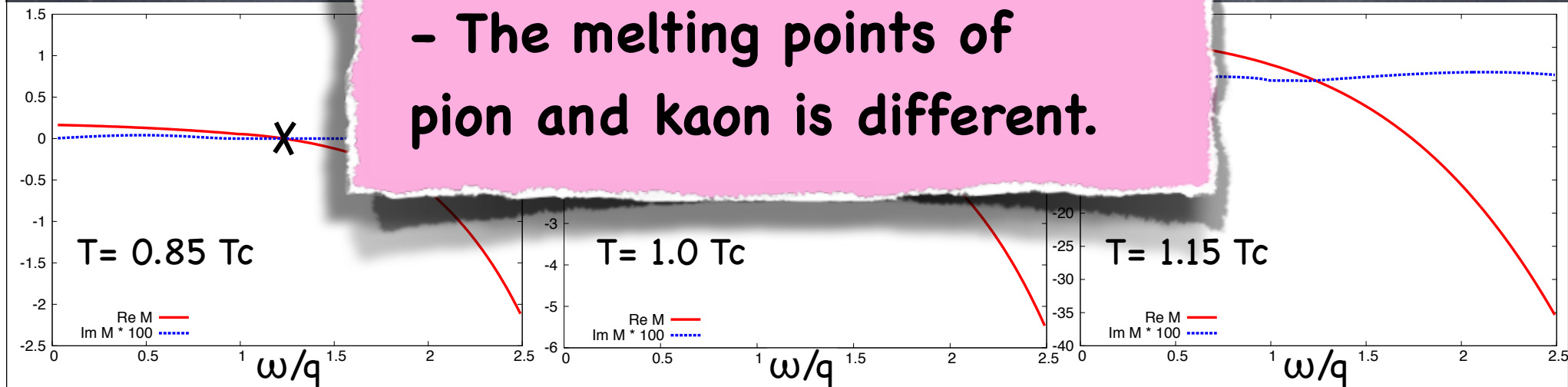
Pion



- Collective modes of kaon disappear at $T=1.15 T_c$

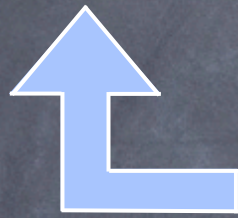
- The melting points of pion and kaon is different.

Kaon



Summary and Outlook

クォーク・ハドロン相転移 at $\mu=0$



3フレーバーPNJL模型

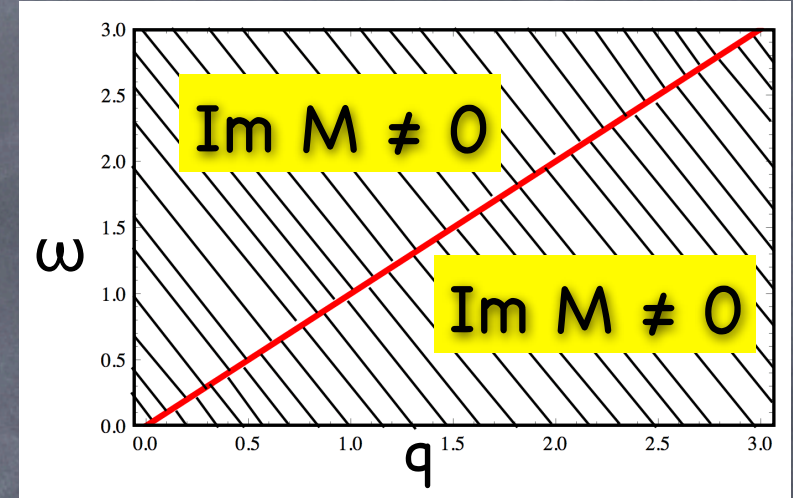
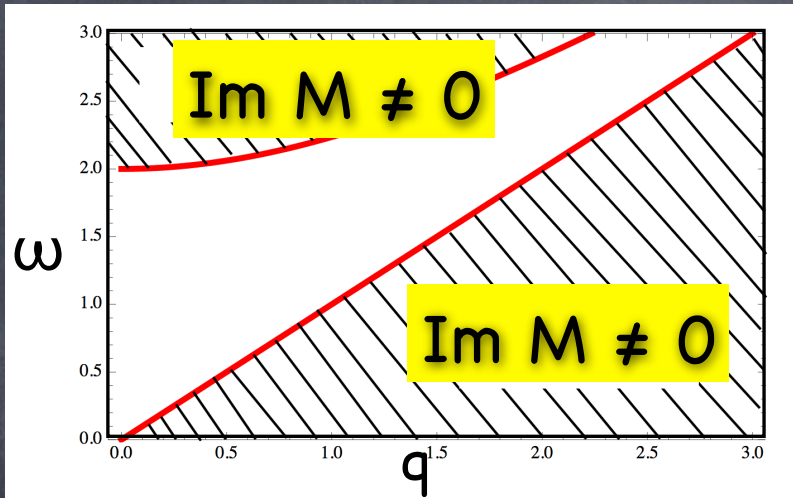
{ カイラル凝縮
Polyakov ループ

結果

- 低温 : π 中間子 と K中間子 が圧力を支配
- 高温 : クォーク (とグルーオン) が圧力を支配
- 中間領域 : K中間子が先に溶ける

今後の課題 : バリオン励起を考慮し有限密度に拡張

Difference of melting temperature



Temperature